

การแลกเปลี่ยนแบบคู่ควรระหว่างชั้นแม่เหล็กชนิดแข็งกับชนิดอ่อนและการเกิดระเบียบของ  
อะตอมของ FePd ในฟิล์มบาง FePd/Ru/CoFe



วิทยานิพนธ์นี้เป็นส่วนหนึ่งของการศึกษาตามหลักสูตรวิทยาศาสตรมหาบัณฑิต

สาขาวิชาฟิสิกส์

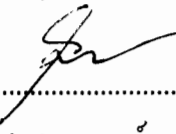
คณะวิทยาศาสตร์ มหาวิทยาลัยบูรพา

เมษายน 2555

ลิขสิทธิ์เป็นของมหาวิทยาลัยบูรพา

คณะกรรมการควบคุมวิทยานิพนธ์และคณะกรรมการสอบวิทยานิพนธ์ ได้พิจารณา  
วิทยานิพนธ์ของ เอกพล แก้วนวน ฉบับนี้แล้ว เห็นสมควรรับเป็นส่วนหนึ่งของการศึกษาตาม  
หลักสูตรวิทยาศาสตรมหาบัณฑิต สาขาวิชาฟิสิกส์ ของมหาวิทยาลัยบูรพา ได้

คณะกรรมการควบคุมวิทยานิพนธ์

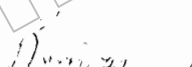
.....  
  
อาจารย์ที่ปรึกษาหลัก  
(ผู้ช่วยศาสตราจารย์ ดร.ชัยศักดิ์ อิสโร)

คณะกรรมการสอบวิทยานิพนธ์

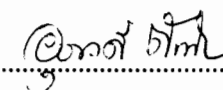
.....  
  
ประธาน  
(ผู้ช่วยศาสตราจารย์ ดร.พงศกร จันทร์ตัน)

.....  
  
กรรมการ  
(ผู้ช่วยศาสตราจารย์ ดร.ชัยศักดิ์ อิสโร)

.....  
  
กรรมการ  
(ดร.ธนระสิทธิ์ รัชตเรืองสิทธิ์)

.....  
  
กรรมการ  
(ดร.กัญจน์ชญา วงศ์เดชคุณ)

คณะกรรมการอนุมัติให้รับวิทยานิพนธ์นี้เป็นส่วนหนึ่งของการศึกษาตามหลักสูตร  
วิทยาศาสตรมหาบัณฑิต สาขาวิชาฟิสิกส์ ของมหาวิทยาลัยบูรพา

.....  
  
คณบดีคณะวิทยาศาสตร์  
(ผู้ช่วยศาสตราจารย์ ดร.อุมาวดี ตันติวรรณรักษ์)  
วันที่ 12 เดือน มกราคม พ.ศ. 2555

## ประกาศคุณูปการ

วิทยานิพนธ์ฉบับนี้สำเร็จลงได้ด้วยความกรุณาจาก ผู้ช่วยศาสตราจารย์ ดร.ชัยศักดิ์ อิสโตร อาจารย์ที่ปรึกษาหลัก ที่กรุณายieldให้คำปรึกษาแนะนำแนวทางที่ถูกต้อง ตลอดจนแก้ไขข้อบกพร่องต่าง ๆ ด้วยความละเอียดถี่ถ้วนและเอาใจใส่ด้วยดีเสมอมา ผู้วิจัยรู้สึกซาบซึ้งเป็นอย่างยิ่ง จึงขอกราบขอบพระคุณเป็นอย่างสูงไว้ ณ โอกาสันนี้

ขอขอบคุณ Prof. Veronique Pierron-Bohnes จากสถาบัน Institute for Physics and Chemistry of Materials in Strasbourg (IPCMS) ประเทศฝรั่งเศส ที่ให้ความอนุเคราะห์ในการเตรียมตัวอย่าง และการวิเคราะห์ข้อมูล ทำให้งานวิจัยนี้สำเร็จลุล่วงได้ด้วยดี รวมทั้งคณาจารย์ภาควิชาฟิสิกส์ทุกท่าน ที่ให้คำปรึกษาและประसิทที่ประสาทวิชาความรู้ตลอดระยะเวลาของการศึกษาในสถาบันแห่งนี้

ขอกราบขอบพระคุณบิดา มารดา และญาติพี่น้องของผู้วิจัยทุกท่าน ที่ให้กำลังใจ สร้างเสริม และสนับสนุนผู้วิจัยในทุก ๆ ด้าน รวมทั้งเพื่อน ๆ สาขาวิชาฟิสิกส์ทุกท่านที่ช่วยเหลือ เป็นกำลังใจ และสร้างบรรยากาศทางวิชาการที่ดีตลอดมา

คุณค่าและประโยชน์ของวิทยานิพนธ์ฉบับนี้ ผู้วิจัยขอขอบเป็นกตัญญูเวทิตาแด่ บุพการี บุรพารย์ และผู้มีพระคุณทุกท่านทั้งในอดีตและปัจจุบัน ที่ทำให้ข้าพเจ้าเป็นผู้ที่มีการศึกษาและประสบความสำเร็จมากจนทราบเท่าทุกวันนี้

เอกพล แก้วนวน

52910180: สาขาวิชา: ฟิสิกส์; วท.ม. (ฟิสิกส์)

คำสำคัญ: เหล็กพาลาเดียม/ อันตรกิริยาคู่ความแม่เหล็กแบบแอนติเฟอร์โร/ ค่าคงที่ของความแรงคู่ความ

เอกสาร แก้วนวน: การแลกเปลี่ยนแบบคู่ความระหว่างชั้นแม่เหล็กชนิดแข็งกับชนิดอ่อน และการเกิดระเบียบของอะตอมของ FePd ในฟิล์มบาง FePd/Ru/CoFe (EXCHANGE COUPLED HARD-SOFT MAGNETIC LAYERS AND ATOMIC ORDERING OF FePd IN FePd/Ru/CoFe THIN FILMS) คณะกรรมการควบคุมวิทยานิพนธ์: ขัยศักดิ์ อิสโโร, DR. RER. NAT. 81 หน้า. ปี พ.ศ. 2555.

กระบวนการให้ความร้อนแบบไอโซโครนัล (Isochronal) ถูกนำมาใช้ศึกษาการเปลี่ยนแปลงทางโครงสร้างและสมบัติทางแม่เหล็กของชั้น FePd ที่มีผลต่ออันตรกิริยาคู่ความแม่เหล็กแบบแอนติเฟอร์โร (Antiferromagnetic coupling; AFC) ในฟิล์ม FePd/Ru/CoFe เมื่อนำฟิล์มตัวอย่างผ่านการอบด้วยความร้อน พนว่าโครงสร้างของชั้น FePd เกิดการเปลี่ยนแปลงจากโครงสร้างแบบ Face centered cubic (fcc; A1) ไปเป็นโครงสร้างแบบ Face centered tetragonal (fct; L<sub>1</sub><sub>0</sub>) ซึ่งมีการจัดเรียงตัวของอะตอมที่เป็นระเบียบและมีสมบัติทางแม่เหล็กชนิดแข็งที่สูงขึ้น การเปลี่ยนแปลงของสมบัติทางแม่เหล็กของชั้น FePd เมื่อongจากกระบวนการอบด้วยความร้อนนั้น ทำให้ค่าคงที่ของความแรงคู่ความ (Coupling strength constant;  $J$ ) ของอันตรกิริยาแบบ AFC ในฟิล์มตัวอย่าง FePd(30 nm)/Ru(0.8 nm)/CoFe(12 nm) เกิดการเปลี่ยนแปลง ในฟิล์มที่เตรียมได้ และฟิล์มที่ผ่านการอบความร้อนจนถึงอุณหภูมิ 613 และ 733 K พนว่า ค่า  $J$  ของฟิล์มตัวอย่างซึ่งแสดงอันตรกิริยาแบบ AFC มีค่าเท่ากับ -0.44, -0.36 และ -0.24 mJ/m<sup>2</sup> ตามลำดับ ขณะที่อุณหภูมิ 813 K พฤติกรรมของการเกิดอันตรกิริยาแบบ AFC ไม่ปรากฏขึ้นในฟิล์มตัวอย่าง

52910180: MAJOR: PHYSICS; M.Sc. (PHYSICS)

KEYWORDS: FePd/ ANTIFERROMAGNETIC COUPLING/ COUPLING STRENGTH  
CONSTANT

EAKGAPON KAEWNUAM: EXCHANGE COUPLED HARD-SOFT MAGNETIC LAYERS AND ATOMIC ORDERING OF FePd IN FePd/Ru/CoFe THIN FILMS. ADVISORY COMMITTEE: CHAISAK ISSRO, DR. RER. NAT. 81 P. 2012.

Heat treatment in isochronal process has been selectively used to study a change in structure and magnetic properties of a ferromagnetic FePd layer on antiferromagnetic coupling (AFC) in FePd/Ru/CoFe films. It was found that when the film was annealed, FePd structure changed from face centered cubic (fcc; A1) to face centered tetragonal (fct) structure ( $L1_0$ -ordered FePd) and its hard magnetic properties increase as well. In this study, the effect on change of magnetic properties in FePd layer was done for study the coupling strength constant ( $J$ ) of AFC in FePd(30 nm)/Ru(0.8 nm)/CoFe(12 nm) film. At as-prepared film and the films annealed to temperature of 613 and 733 K, the  $J$  value in the AFC film was -0.44, -0.36 and -0.24 mJ/m<sup>2</sup>, respectively. While at 813 K, the AFC behavior disappeared in the film sample.

## สารบัญ

	หน้า
บทคัดย่อภาษาไทย.....	๔
บทคัดย่อภาษาอังกฤษ.....	๕
สารบัญ.....	๖
สารบัญภาพ.....	๗
บทที่	
1 บทนำ.....	1
1.1 ความเป็นมาและความสำคัญ.....	1
1.2 วัตถุประสงค์ของการวิจัย.....	2
1.3 กรอบแนวคิดของการวิจัย.....	2
1.4 ประโยชน์ที่คาดว่าจะได้รับจากการวิจัย.....	3
1.5 ขอบเขตของการวิจัย.....	3
2 เอกสารและงานวิจัยที่เกี่ยวข้อง.....	4
2.1 อันตรรศน์ความแม่เหล็กแบบแอนติเฟอร์โร.....	4
2.2 อันตรรศน์เดกเบลี่ยนคู่ความแม่เหล็กระหว่างชั้นฟิล์ม.....	7
2.3 โลหะผสม FePd.....	20
2.4 โลหะผสม CoFe.....	23
2.5 สภาพด้านทานไฟฟ้า.....	26
2.6 เทคนิคการเตรียมตัวอย่างด้วยวิธีสปัปตเตอริง.....	35
2.7 เทคนิคการวิเคราะห์ลักษณะทางโครงสร้างด้วยการเลี้ยวเบนของรังสีเอกซ์.....	40
2.8 เทคนิคการวิเคราะห์สมบัติทางแม่เหล็ก.....	43
3 วิธีการดำเนินการวิจัย.....	49
3.1 วัสดุ อุปกรณ์ และสารเคมีที่ใช้.....	49
3.2 การเตรียมฟิล์ม FePd, CoFe และ FePd/Ru/CoFe.....	50
3.3 การวิเคราะห์ลักษณะทางโครงสร้างและสมบัติทางแม่เหล็ก.....	51
3.4 การศึกษาการจัดระเบียบของอะตอมและการเปลี่ยนแปลงทางโครงสร้าง ของ FePd.....	51

## สารบัญ (ต่อ)

บทที่		หน้า
	3.5 การศึกษาพฤติกรรมของการเกิดอันตรายริยาแบบ AFC ด้วยการวัด GMR.....	52
4	ผลการวิจัย.....	54
	4.1 ลักษณะทางโครงสร้างและสมบัติทางแม่เหล็กของฟิล์มตัวอย่าง ที่เตรียมได้.....	54
	4.2 ผลการศึกษาการเปลี่ยนแปลงทางโครงสร้างและการจัดระเบียบของอะตอม ของ FePd ในฟิล์มแบบ 3 ชั้น FePd/Ru/CoFe ด้วยการวัด REST.....	58
	4.3 ลักษณะทางโครงสร้างและสมบัติทางแม่เหล็กของฟิล์มตัวอย่างที่ผ่านการ อบความร้อนแบบไอโซโครนัค.....	59
	4.4 ผลการศึกษาพฤติกรรมของการเกิดอันตรายริยาแบบ AFC ด้วยการวัด GMR.....	66
5	อภิปรายและสรุปผล.....	68
	บรรณานุกรม.....	70
	ภาคผนวก.....	75
	ประวัติย่อของผู้วิจัย.....	81

## สารบัญภาพ

ภาพที่	หน้า
1 แสดงชั้นวัสดุที่มีสมบัติทางแม่เหล็กแบบ AFC.....	4
2 แสดงพัฒนาการของอุตสาหกรรมการผลิตสารคดิสก์.....	7
3 แสดงระดับชั้นพลังงานของอิเล็กตรอนในป่าศักย์ที่มีความกว้าง L.....	8
4 แสดงโครงสร้างของແບນพลังงานในชั้นวัสดุแบบ EM และ NM.....	10
5 (ก) แสดงการเกิดอันตรกิริยาแบบ FC ในฟิล์มบางแบบ 3 ชั้น FM/NM/FM (ข) แสดง การเกิดอันตรกิริยาแบบ AFC ในฟิล์มบางแบบ 3 ชั้น FM/NM/FM.....	11
6 (ก) แสดงการลดลงของ $E_n$ และการสั่นพ้องของคลื่นอิเล็กตรอนที่ระดับ $E_F$ เมื่อ D มีค่าเพิ่มขึ้น (ข) แสดงการแปรผันของพลังงานรวมใน QW ตามความหนาของชั้น NM ที่เปลี่ยนแปลงไป.....	13
7 กราฟแสดงความสัมพันธ์ระหว่างค่าคงที่ของความแรงคู่คุณ และความหนาของ ชั้น NM.....	15
8 (ก) แสดงผิวเฟอร์นิชของอิเล็กตรอนอิสระ เมื่อ $q_c$ คือ critical spanning wave vector ของอิเล็กตรอนอิสระ (ข) แสดงด้วยอย่างผิวเฟอร์นิชของทองแดง เมื่อ $q_L$ และ $q_S$ คือ critical spanning wave vector ช่วงยาว และช่วงสั้นของทองแดง ตามลำดับ.....	16
9 แสดงการแทรกสอดแบบ Fabry-Pérot ของคลื่นแสงในอุปกรณ์ Etalon.....	17
10 (ก) แสดงค่าคงที่ของความแรงคู่คุณของอันตรกิริยา IEC ที่มีการแปรผันตาม ความหนาของชั้น NM ในฟิล์มบาง FM/NM/FM โดยที่ชั้น FM มีความหนา กว่า อนันต์ (ข) แสดงค่าคงที่ของความแรงคู่คุณของอันตรกิริยา IEC ที่มีการแปรผันตามความ หนาของชั้น FM ในฟิล์มบาง FM/NM/FM โดยที่มีการกำหนดความหนาของชั้น NM ให้มีค่าเท่ากับ 2.90, 3.65 และ 4.10 Å ตามลำดับ.....	19
11 (ก) แสดงลักษณะทางโครงสร้างของหน่วยเซลล์ (Unit cell) ที่มีโครงสร้าง แบบ A1 (ข) แสดงลักษณะทางโครงสร้างของหน่วยเซลล์ที่มีโครงสร้างแบบ $L_{1_0}$ (ค) แสดงการวางตัวของเมกนิไฟเซชันของอะตอมในหน่วยเซลล์ที่มี โครงสร้างแบบ $L_{1_0}$ ซึ่งมีสมบัติทางแม่เหล็กแบบเฟอร์โร.....	20
12 แสดงเฟล์โอดิอะแกรนของ FePd.....	21

## สารบัญภาพ (ต่อ)

ภาพที่	หน้า
13 แสดงสภาพด้านท่านไฟฟ้าตอกค้างที่มีการเปลี่ยนแปลงตามอุณหภูมิที่ใช้ในการอบความร้อนของ (ก) แผ่นฟอยล์ FePd ที่มีโครงสร้างแบบพหุผลีก (ข) ฟิล์มบาง FePd ที่มีโครงสร้างแบบพหุผลีก (ค) ฟิล์มบาง FePd ที่มีโครงสร้างแบบผลีกเดียว.....	22
14 แสดงการเปลี่ยนแปลงของโนเมนต์เม่เล็กที่เป็นพังก์ชันกับอุณหภูมิของการอบความร้อนใน $\text{Co}_{50}\text{Fe}_{50}$ .....	23
15 แสดงเฟสไซโอะแกรมของ CoFe.....	25
16 แสดงการหาค่าสภาพด้านท่านไฟฟ้าในวัสดุของเบ็งท์ที่พื้นที่หน้าตัด $a$ และมีความยาว $l$ .....	26
17 แสดงการกระจายของอิเด็กตรอนตัวนำและเกิดการเปลี่ยนสถานะจาก $k$ เป็น $k'$ ใน $k$ -space.....	27
18 แสดงการเชื่อมต่อ漉คตัวนำแบบต่าง ๆ สำหรับเทคนิคการวัดสภาพด้านไฟฟ้าแบบวนเดอพา.....	29
19 แสดงการเชื่อมต่อ漉คตัวนำของชิ้นงานที่มีลักษณะเป็นสี่เหลี่ยมนูนฉาก.....	29
20 แสดงผลการวัดค่า GMR ของฟิล์มบางแบบหลายชั้น ( $\text{Fe } 30\text{\AA}/\text{Cr } 9\text{\AA}$ ) ที่สภาวะอุณหภูมิต่ำในงานวิจัยของ Fert.....	33
21 แสดงปรากฏการณ์ GMR.....	34
22 แสดงวิธีการวัด GMR แบบ CPP และ แบบ CIP.....	35
23 แสดงระบบการเคลือบตัวอย่างด้วยเทคนิคดีซีเมกนิตรอนสปีดเตอริง.....	37
24 แสดงระบบการเคลือบตัวอย่างด้วยเทคนิคการอฟเมกนิตรอนสปีดเตอริง.....	39
25 (ก) แสดงการสลับขั้วไฟฟ้าแอโนด-แคโทดของเป้าวัสดุ แผ่นวัสดุ.orgรับและผนังห้องเคลือบ (ข) แสดงค่าศักยไฟฟ้า ( $V$ ) ของเป้าวัสดุที่เป็นพังก์ชันของเวลา ( $t$ ).....	39
26 แสดงการเดี้ยวบนของรังสีเอกซ์ผ่านระบบของโครงร่างผลีก.....	40
27 แสดงตัวอย่างผลการวิเคราะห์ XRD ของ (ก) ฟอยล์บาง A1-FePd ที่เตรียมได้โดยวิธีริด เย็น (cold-rolled) ที่อุณหภูมิห้อง (ข) ฟอยล์บาง L1 <sub>0</sub> -FePd ที่เตรียมได้โดยการผ่านการอบความร้อนที่อุณหภูมิ 733 K เป็นเวลา 15 ชม.....	41

## สารบัญภาพ (ต่อ)

ภาพที่	หน้า
28 แสดงตัวอย่างผลการวิเคราะห์ XRD ของพิล์มนาง B2-Co <sub>50</sub> Fe <sub>50</sub> ที่เตรียมด้วยวิธี Pulsed laser deposition (PLD) ที่อุณหภูมิห้อง.....	42
29 แสดงตัวอย่างผลการวิเคราะห์ XRD ของพิล์มนาง A3-Ru ที่เตรียมด้วยวิธี Pulsed chemical vapor deposition (Pulsed CVD) ที่อุณหภูมิ 130 °C และที่ผ่านการอบความร้อนที่อุณหภูมิ 500 และ 750 °C เป็นเวลา 1 นาที.....	42
30 กราฟแสดงความสัมพันธ์ระหว่าง M กับ H ของ (ก) วัสดุที่มีสมบัติทางแม่เหล็กแบบพารา (ข) วัสดุที่มีสมบัติทางแม่เหล็กแบบไดโอด.....	44
31 แสดงวงจรไฟฟ้าของวัสดุที่มีสมบัติทางแม่เหล็กแบบเฟอร์โร.....	44
32 แสดงแผนภาพของชุดอุปกรณ์ VSM โดยที่ (1) คือ ชิ้นงานตัวอย่าง, (2) คือ ขดลวดโลหะตรวจวัด (Detection coil), (3) คือ อุปกรณ์ให้กำเนิดการสั่น (Vibrator), (4) คือ แม่เหล็กไฟฟ้า (Electromagnet) และ (5) คือ หัวตรวจวัดสนามแม่เหล็ก.....	46
33 แสดงแผนภาพชุดอุปกรณ์ AGFM โดยที่ A,B คือ ขดลวดโลหะที่ใช้ในการสร้างสนามแม่เหล็กแบบ Gradient (Gradient field coil), M คือ ขั้วแม่เหล็กไฟฟ้า และ S คือ ชิ้นงานตัวอย่าง.....	47
34 แสดงลักษณะชั้นของพิล์มตัวอย่างที่เตรียมได้ (ก) ภาพพิล์มตัวอย่าง FePd(30 nm) (ข) ภาพพิล์มตัวอย่าง CoFe(16 nm) (ค) ภาพภาพพิล์มตัวอย่าง FePd(30 nm)/Ru(0.8 nm)/CoFe(x nm) เมื่อ x = 12, 14 และ 16 nm.....	50
35 (ก) แสดงการเชื่อมต่อจุดทองแดงที่มุนหั้งสีของพิล์มตัวอย่างด้วยการเจน (ข) แสดงการจัดวางพิล์มตัวอย่างใน Chamber ของชุดอุปกรณ์ให้ความร้อนในบรรยากาศของแก๊สสารกอน.....	51
36 (ก) แสดงการเชื่อมต่อจุดทองแดงที่บริเวณด้านข้างของพิล์มตัวอย่าง (ข) แสดงการจัดวางพิล์มตัวอย่างระหว่างขั้วแม่เหล็กไฟฟ้า.....	53
37 แสดงผลการวิเคราะห์ XRD ของพิล์มตัวอย่าง FePd(30 nm) ที่เตรียมได้.....	54
38 แสดงผลการวิเคราะห์ XRD ของพิล์มตัวอย่าง CoFe(16 nm) ที่เตรียมได้.....	54
39 แสดงผลการวิเคราะห์ XRD ของพิล์มตัวอย่าง FePd(30 nm)/Ru(0.8 nm)/CoFe(16 nm) ที่เตรียมได้.....	55

## สารบัญภาพ (ต่อ)

ภาพที่	หน้า
40 แสดงวงชิสเทอร์ซิสที่มีการจ่ายสนามแม่เหล็กในทิศทันานกับระนาบของฟิล์มตัวอย่างแบบ 3 ชั้น FePd(30 nm)/Ru(0.8 nm)/CoFe(12 nm) ที่เตรียมณ อุณหภูมิห้องก่อนผ่านการอบความร้อน.....	56
41 แสดงผลการวัด REST ของฟิล์มตัวอย่างแบบ 3 ชั้น FePd(30 nm)/Ru(0.8 nm)/CoFe(x nm) เมื่อ $x = 12, 14$ และ $16 \text{ nm}$ ที่ผ่านกระบวนการให้ความร้อนแบบไอโซโครนัล ( $\Delta T = 20 \text{ K}$ , $\Delta t = 1200 \text{ s}$ ).....	58
42 แสดงผลการวิเคราะห์ XRD ของฟิล์มตัวอย่างแบบชั้นเดียว FePd(30 nm) ที่ผ่านการอบความร้อนไปจนถึงอุณหภูมิ $813 \text{ K}$ .....	59
43 แสดงผลการวิเคราะห์ XRD ของฟิล์มตัวอย่างแบบ 3 ชั้น FePd(30 nm)/Ru(0.8 nm)/CoFe(16 nm) ที่ผ่านการอบความร้อนไปจนถึงอุณหภูมิ $813 \text{ K}$ .....	60
44 แสดงวงชิสเทอร์ซิสที่มีการจ่ายสนามแม่เหล็กเข้าไปในทิศที่ขานกับระนาบของฟิล์มตัวอย่าง FePd(30 nm) ที่ผ่านการอบความร้อนจนถึงอุณหภูมิ $613, 733$ และ $813 \text{ K}$ .....	62
45 แสดงวงชิสเทอร์ซิสที่มีการจ่ายสนามแม่เหล็กเข้าไปในทิศที่ขานกับระนาบของฟิล์มตัวอย่าง CoFe(16 nm) ที่ผ่านการอบความร้อนจนถึงอุณหภูมิ $613, 733$ และ $813 \text{ K}$ .....	62
46 แสดงวงชิสเทอร์ซิสที่มีการจ่ายสนามแม่เหล็กเข้าไปในทิศที่ขานกับระนาบของฟิล์มตัวอย่างแบบ 3 ชั้น FePd(30 nm)/Ru(0.8 nm)/CoFe(12 nm) ที่ผ่านการอบความร้อนไปจนถึงอุณหภูมิ $613, 733$ และ $813 \text{ K}$ .....	63
47 แสดงวงชิสเทอร์ซิสที่มีการจ่ายสนามแม่เหล็กเข้าไปในทิศที่ตั้งฉากกับระนาบของฟิล์มตัวอย่างแบบ 3 ชั้น FePd(30 nm)/Ru(0.8 nm)/CoFe(12 nm) ที่ผ่านการอบความร้อนไปจนถึงอุณหภูมิ $613, 733$ และ $813 \text{ K}$ .....	64
48 แสดงผลการวัด GMR ของฟิล์ม FePd(30 nm)/Ru(0.8 nm) /CoFe(12 nm) ที่เตรียมได้ที่อุณหภูมิห้อง (AP) และผ่านกระบวนการให้ความร้อนแบบไอโซโครนัลจนถึงอุณหภูมิ $613 \text{ K}, 733 \text{ K}$ และ $813 \text{ K}$ .....	66